



Laboratorium Badań Środowiskowych
ul. Józefa Piasta Dziekońskiego 3
00-728 Warszawa
e-mail: Laboratorium@networks.pl



AB 419

S P R A W O Z D A N I E 10054/2021/OS
Z POMIARÓW PÓŁ ELEKTROMAGNETYCZNYCH
WYKONANYCH DLA POTRZEB OCHRONY ŚRODOWISKA

Badany obiekt: Instalacja radiokomunikacyjna Orange Polska S.A.

Numer i nazwa: 77309 (77309N!) WROCŁAW ZALESIE 2 (PWR_WROCLAW_ZALESIE2)

Adres: WROCŁAW, AL. IGNACEGO JANA PADEREWSKIEGO 35, Powiat m. Wrocław, WOJ. DOLNOŚLĄSKIE

Data wykonania pomiarów: 2021-12-22

Sprawozdanie z badań bez pisemnej zgody laboratorium nie może być powielane inaczej niż w całości.
Wynik przedstawione w niniejszym sprawozdaniu odnoszą się wyłącznie do badanego obiektu i do warunków i konfiguracji urządzeń w dniu wykonywania pomiarów.

1. Właściciel badanego obiektu:

Orange Polska S.A., Al. Jerozolimskie 160, 02-326 Warszawa

2. Zleceniodawca:

Orange Polska S.A., Al. Jerozolimskie 160, 02-326 Warszawa

3. Przedstawiciel zleceniodawcy:

NetWorkS! Sp.z o.o.

4. Zakres zlecenia:

Wykonanie badania i opracowanie sprawozdania z pomiarów natężenia pola elektrycznego i pola magnetycznego dla instalacji radiokomunikacyjnej Orange Polska S.A. zlokalizowanej w miejscowości WROCŁAW, AL. IGNACEGO JANA PADEREWSKIEGO 35.

5. Cel zlecenia:

Wykonanie pomiarów pól elektromagnetycznych w otoczeniu instalacji radiokomunikacyjnej 77309 (77309N!) WROCŁAW ZALESIE 2 (PWR_WROCLAW_ZALESIE2) w odniesieniu do wymagań określonych w *Rozporządzeniu Ministra Klimatu z dnia 17 lutego 2020 r. w sprawie sposobów sprawdzania dotrzymania dopuszczalnych poziomów pól elektromagnetycznych w środowisku* (Dz. U. 2020, poz. 258).

6. Pomiary zostały wykonane przez:

Semrau Piotr
Pawlak Ariel

7. Informacje o źródłach pól elektromagnetycznych

7.1. Sposób identyfikacji badanych źródeł pól elektromagnetycznych

Identyfikacji źródeł i parametrów technicznych dokonano na podstawie analizy dokumentacji dotyczącej zlecenia oraz obserwacji miejsca wykonywania badań.

7.2. Opis miejsca zainstalowania anten i urządzeń technicznych. Opis obiektu badań i jego otoczenia

Instalacja radiokomunikacyjna zlokalizowana jest na terenie nieogrodzonym. Anteny zawieszone na wieży kratowej. Urządzenia sterujące oraz zasilające zainstalowano w szafie outdoor na konstrukcji wieży. Wokół instalacji znajduje się miasto.

Instalacja radiokomunikacyjna jest obiektem bezobsługowym. Okresowe stanowiska pracy związane są z prowadzonymi w zależności od potrzeb konserwacjami, przeglądami, strojeniem i naprawami.

Sprawozdanie z badań bez pisemnej zgody laboratorium nie może być powielane inaczej niż w całości.
Wynik przedstawione w niniejszym sprawozdaniu odnoszą się wyłącznie do badanego obiektu i do warunków i konfiguracji urządzeń w dniu wykonywania pomiarów.

7.3. Parametry techniczne źródła pola elektromagnetycznego

Dane przedstawiające maksymalne parametry pracy instalacji przekazane przez zleceniodawcę:

Parametry systemu nadawczo-odbiorczego:

Charakterystyka promieniowania		kierunkowa					
Rzeczywisty czas pracy [h/dobę]		24					
Warunki pracy		znamionowe					
Rodzaj wytwarzanego pola		stacjonarne					
Lp.	Częstotliwość lub zakresy częstotliwości pracy [MHz]	Typ/producent anteny	liczba anten	Azymut [°]	kąt pochylenia* [°]	Wysokość średnia elektrycznego anteny [m n.p.t]	Równoważna moc promieniowania izotropowo (EIRP) [W]
1	800/900/1800/2100/2600	ATR4518R6v06 Huawei	1	45	6/6/6/6/6	35	9247
2	800/900/1800/2100/2600	ATR4518R6v06 Huawei	1	165	6/6/6/6/6	35	9247
3	800/900/1800/2100/2600	ATR4518R6v06 Huawei	1	285	6/6/6/6/6	30	9242

* wskazane wartości kąta pochylenia anten, zgodnie z informacją uzyskaną od zleceniodawcy, są wartościami stałymi

Parametry radiolinii:

Charakterystyka promieniowania		kierunkowa					
Rzeczywisty czas pracy [h/dobę]		24					
Warunki pracy		znamionowe					
Rodzaj wytwarzanego pola		stacjonarne					
Lp.	Linia radiowa			Antena			
	Typ/ Producent	Częstotliwość pracy [GHz]	Równoważna moc promieniowania izotropowo (EIRP) [W]	Typ/ producent	Średnica anteny [m]	Azymut [°]	Wysokość zainstalowania n.p.t [m]
1.	RTN 380AX DC 70/80GHz 250MHz Huawei	80	1779	A80D03 Huawei	0.3	93	33

7.4 Inne źródła pól elektromagnetycznych

Na podstawie informacji otrzymanych od użytkownika oraz obserwacji otoczenia miejsca wykonywania pomiarów oraz nie stwierdzono występowania innych źródeł pola-EM

8. Opis pomiarów

8.1. Metoda badań

Zgodna z rozporządzeniem Ministra Klimatu z dnia 17 lutego 2020 r. w sprawie sposobów sprawdzania dotrzymania dopuszczalnych poziomów pól elektromagnetycznych w środowisku (Dz. U. 2020, poz. 258), określona w pkt 25 ppkt 1 załącznika do niniejszego rozporządzenia.

Zgodnie z art. 122a ust. 1b ustawy Prawo Ochrony Środowiska, w przypadku wprowadzenia na części albo całym terytorium Rzeczypospolitej Polskiej stanu nadzwyczajnego, o którym mowa w art. 228 ust. 1 Konstytucji Rzeczypospolitej Polskiej z dnia 2 kwietnia 1997 r. (Dz. U. poz. 483, z 2001 r. poz. 319, z 2006 r. poz. 1471 oraz z 2009 r. poz. 946), lub stanu zagrożenia epidemicznego lub stanu epidemii, o których mowa w art. 46 ustawy z dnia 5 grudnia 2008 r. o zapobieganiu oraz zwalczaniu zakażeń i chorób zakaźnych u ludzi (Dz. U. z 2019 r. poz. 1239, z późn. zm.8)), pomiarów , nie przeprowadza się w lokalach mieszkalnych oraz w lokalach użytkowych zlokalizowanych na terytorium objętym stanem nadzwyczajnym, stanem zagrożenia epidemicznego lub stanem epidemii.

Sprawozdanie z badań bez pisemnej zgody laboratorium nie może być powielane inaczej niż w całości.
Wynik przedstawione w niniejszym sprawozdaniu odnoszą się wyłącznie do badanego obiektu i do warunków i konfiguracji urządzeń w dniu wykonywania pomiarów.

W związku z obecnie obowiązującym stanem epidemii, pomiarów nie wykonano w lokalach mieszkalnych oraz w lokalach użytkowych zlokalizowanych w obszarze pomiarowym przedmiotowej instalacji radiokomunikacyjnej.

8.2. Termin pomiarów i warunki środowiskowe

Podczas wykonywania pomiarów pól elektromagnetycznych nie występowały opady atmosferyczne. Wyniki pomiaru parametrów pogodowych przedstawia poniższa tabela:

Data [rrrr-mm- dd]	Godzina [hh:mm-hh:mm]	Warunki środowiskowe			
		Temperatura [°C]	Wilgotność względna [%]	Przed pomiarem	Po pomiarach
2021-12-22	09:10-10:25	0.1	66.9	Przed pomiarem	Po pomiarach
		0.1	66.9		

Przedstawione wyżej warunki środowiskowe, występujące podczas wykonywania pomiarów pól elektromagnetycznych, są zgodne ze specyfikacją techniczną użytego zestawu pomiarowego.

8.3. Warunki pracy urządzeń nadawczych

Podczas pomiarów zostały uwzględnione poprawki pomiarowe przekazane przez zleceniodawcę, umożliwiające uwzględnienie maksymalnych parametrów pracy instalacji zgodnie z pkt 7 załącznika do Rozporządzeniem Ministra Klimatu z dnia 17 lutego 2020 r. w sprawie sposobów sprawdzania dotrzymania dopuszczalnych poziomów pól elektromagnetycznych w środowisku (Dz. U. 2020, poz. 258).

8.4. Wypożyczenie pomiarowe

Zestaw pomiarowy służący do pomiaru natężenia składowej elektrycznej pola elektromagnetycznego złożony z szerokopasmowego miernika i sondy pomiarowej:

Oznaczenie miernika	Producent	Model	Numer fabryczny	Oznaczenie sondy	Producent	Model	Numer fabryczny
M-04	Narda Safety Test Solution	Miernik pól elektromagnetycznych NBM-550	F-0212	S-04	Narda Safety Test Solution	Sonda EF6092	A-0057

Mierniki natężenia pola elektromagnetycznego podlegają okresowemu sprawdzeniu zgodnie z procedurą wewnętrzną P-03 i PB-01. Świadectwo wzorcowania zestawu pomiarowego z dnia 15 listopada 2021 o numerze LWiMP/W/349/21 wydane przez Laboratorium Wzorców i Metrologii Pola Elektromagnetycznego (LWiMP) Politechniki Wrocławskiej.
Data ważności świadectwa wzorcowania: 15 listopada 2023 (zgodnie z procedurą wewnętrzną P-03).

Oznaczenie miernika	Producent	Model	Numer fabryczny	Oznaczenie sondy	Producent	Model	Numer fabryczny
M-04	Narda Safety Test Solution	Miernik pól elektromagnetycznych NBM-550	F-0212	S-28	Narda Safety Test Solution	Sonda EF0391	D-1595

Mierniki natężenia pola elektromagnetycznego podlegają okresowemu sprawdzeniu zgodnie z procedurą wewnętrzną P-03 i PB-01. Świadectwo wzorcowania zestawu pomiarowego z dnia 2 czerwca 2020 o numerze LWiMP/W/156/20 wydane przez Laboratorium Wzorców i Metrologii Pola Elektromagnetycznego (LWiMP) Politechniki Wrocławskiej.
Data ważności świadectwa wzorcowania: 2 czerwca 2022 (zgodnie z procedurą wewnętrzną P-03).

Termohigrometr:

Oznaczenie:	TH-14	Producent:	AZ INSTRUMENT CORP	Model:	Termohigrometr AZ8706
-------------	-------	------------	--------------------	--------	-----------------------

Data ważności świadectwa wzorcowania: 30 grudnia 2022 (zgodnie z procedurą wewnętrzną P-03).

Dalmierz:

Oznaczenie	Producent	Typ	Numer seryjny	Nr świadectwa wzorcowania	Data świadectwa wzorcowania
D-01	Leica	Dalmierz Leica Disto X310	843810238	1146.7-M11-4180-396/15	8 kwietnia 2015

Data ważności świadectwa wzorcowania: 8 kwietnia 2025 (zgodnie z procedurą wewnętrzną P-03).

Sprawozdanie z badań bez pisemnej zgody laboratorium nie może być powielane inaczej niż w całości.

Wynik przedstawione w niniejszym sprawozdaniu odnoszą się wyłącznie do badanego obiektu i do warunków i konfiguracji urządzeń w dniu wykonywania pomiarów.

9. Wyniki pomiarów

Pole elektryczne

Nr pionu	Opis umiejscowienia pionu (punktu) pomiarowego	Wysokość pomiaru [m]	Zmierzona wartość natężenia pola elektrycznego E [V/m] ^{1,5}			Wartość natężenia pola elektrycznego po uwzględnieniu poprawek pomiarowych powiększona o niepewność pomiaru ⁴ E [V/m]	Wskaźnikowa wartość poziomu emisji pól elektromagnetycznych WM _E ³	Współrzędne geograficzne pionu (punktu) pomiarowego ²
			Sonda S-04	Sonda S-28	SUMA			
1	GKP w odległości 6m od anteny sektorowej az. 45°	0,3-2,0	<1,0	<1,0	<1,0	2.2	0.08	51°7'7.319" 17°5'44.16"
2	GKP w odległości 13m od anteny sektorowej az. 45°	0,3-2,0	<1,0	<1,0	<1,0	2.2	0.08	51°7'7.68" 17°5'44.52"
3	GKP w odległości 6m od anteny sektorowej az. 165°	0,3-2,0	<1,0	<1,0	<1,0	2.2	0.08	51°7'6.96" 17°5'44.16"
4	GKP w odległości 23m od anteny sektorowej az. 165°	0,3-2,0	<1,0	<1,0	<1,0	2.2	0.08	51°7'6.599" 17°5'44.16"
5	GKP w odległości 39m od anteny sektorowej az. 165°	0,3-2,0	<1,0	<1,0	<1,0	2.2	0.08	51°7'5.879" 17°5'44.52"
6	GKP w odległości 55m od anteny sektorowej az. 165°	0,3-2,0	<1,0	<1,0	<1,0	2.2	0.08	51°7'5.52" 17°5'44.52"
7	GKP w odległości 72m od anteny sektorowej az. 165°	0,3-2,0	<1,0	<1,0	<1,0	2.2	0.08	51°7'4.8" 17°5'44.88"
8	GKP w odległości 8m od anteny sektorowej az. 285°	0,3-2,0	<1,0	<1,0	<1,0	2.2	0.08	51°7'7.319" 17°5'43.44"
9	GKP w odległości 21m od anteny sektorowej az. 285°	0,3-2,0	<1,0	<1,0	<1,0	2.2	0.08	51°7'7.319" 17°5'42.719"
10	GKP w odległości 36m od anteny sektorowej az. 285°	0,3-2,0	<1,0	<1,0	<1,0	2.2	0.08	51°7'7.68" 17°5'41.999"
11	GKP w odległości 50m od anteny sektorowej az. 285°	0,3-2,0	<1,0	<1,0	<1,0	2.2	0.08	51°7'7.68" 17°5'41.279"
12	GKP w odległości 7m od anteny radioliniowej az. 93°	0,3-2,0	<1,0	<1,0	<1,0	2.2	0.08	51°7'7.319" 17°5'44.16"
13	GKP w odległości 18m od anteny radioliniowej az. 93°	0,3-2,0	<1,0	<1,0	<1,0	2.2	0.08	51°7'7.319" 17°5'44.88"
14	w odległości 17m od anteny sektorowej az. 165°	0,3-2,0	<1,0	<1,0	<1,0	2.2	0.08	51°7'6.599" 17°5'43.44"
15	w odległości 25m od anteny sektorowej az. 45°	0,3-2,0	<1,0	<1,0	<1,0	2.2	0.08	51°7'8.039" 17°5'43.44"
16	w odległości 32m od anteny radioliniowej az. 93°	0,3-2,0	<1,0	<1,0	<1,0	2.2	0.08	51°7'6.599" 17°5'45.24"
-	GKP w odległości 241m od anteny sektorowej az. 45°	0,3-2,0	<1,0	<1,0	<1,0	2.2	0.08	51°7'12.719" 17°5'52.799"
-	GKP w odległości 359m od anteny sektorowej az. 45°	0,3-2,0	<1,0	<1,0	<1,0	2.2	0.08	51°7'15.6" 17°5'57.119"
-	GKP w odległości 189m od anteny sektorowej az. 165°	0,3-2,0	<1,0	<1,0	<1,0	2.2	0.08	51°7'1.199" 17°5'46.319"
-	GKP w odległości 369m od anteny sektorowej az. 165°	0,3-2,0	<1,0	<1,0	<1,0	2.2	0.08	51°6'55.44" 17°5'48.84"
-	GKP w odległości 160m od anteny sektorowej az. 285°	0,3-2,0	<1,0	<1,0	<1,0	2.2	0.08	51°7'8.76" 17°5'35.879"
-	GKP w odległości 364m od anteny sektorowej az. 285°	0,3-2,0	<1,0	<1,0	<1,0	2.2	0.08	51°7'10.2" 17°5'25.799"

Sprawozdanie z badań bez pisemnej zgody laboratorium nie może być powielane inaczej niż w całości.

Wynik przedstawione w niniejszym sprawozdaniu odnoszą się wyłącznie do badanego obiektu i do warunków i konfiguracji urządzeń w dniu wykonywania pomiarów.

Pole magnetyczne (wyznaczone na podstawie pomiaru wartości natężenia pola elektrycznego)

Nr pionu	Opis umiejscowienia pionu (punktu) pomiarowego	Wysokość pomiaru [m]	Wartość natężenia pola magnetycznego H [A/m] ¹			Wartość natężenia pola magnetycznego po uwzględnieniu poprawek pomiarowych powiększona o niepewność pomiaru ⁴ H [A/m]	Wskaźnikowa wartość poziomu emisji pól elektromagnetycznych WM _H ³	Współrzędne geograficzne pionu (punktu) pomiarowego ²
			Sonda S-04	Sonda S-28	SUMA			
1	GKP w odległości 6m od anteny sektorowej az. 45°	0,3-2,0	<0.003*	<0.003*	<0.003*	0.006	0.08	51°7'7.319" 17°5'44.16"
2	GKP w odległości 13m od anteny sektorowej az. 45°	0,3-2,0	<0.003*	<0.003*	<0.003*	0.006	0.08	51°7'7.68" 17°5'44.52"
3	GKP w odległości 6m od anteny sektorowej az. 165°	0,3-2,0	<0.003*	<0.003*	<0.003*	0.006	0.08	51°7'6.96" 17°5'44.16"
4	GKP w odległości 23m od anteny sektorowej az. 165°	0,3-2,0	<0.003*	<0.003*	<0.003*	0.006	0.08	51°7'6.599" 17°5'44.16"
5	GKP w odległości 39m od anteny sektorowej az. 165°	0,3-2,0	<0.003*	<0.003*	<0.003*	0.006	0.08	51°7'5.879" 17°5'44.52"
6	GKP w odległości 55m od anteny sektorowej az. 165°	0,3-2,0	<0.003*	<0.003*	<0.003*	0.006	0.08	51°7'5.52" 17°5'44.52"
7	GKP w odległości 72m od anteny sektorowej az. 165°	0,3-2,0	<0.003*	<0.003*	<0.003*	0.006	0.08	51°7'4.8" 17°5'44.88"
8	GKP w odległości 8m od anteny sektorowej az. 285°	0,3-2,0	<0.003*	<0.003*	<0.003*	0.006	0.08	51°7'7.319" 17°5'43.44"
9	GKP w odległości 21m od anteny sektorowej az. 285°	0,3-2,0	<0.003*	<0.003*	<0.003*	0.006	0.08	51°7'7.319" 17°5'42.719"
10	GKP w odległości 36m od anteny sektorowej az. 285°	0,3-2,0	<0.003*	<0.003*	<0.003*	0.006	0.08	51°7'7.68" 17°5'41.999"
11	GKP w odległości 50m od anteny sektorowej az. 285°	0,3-2,0	<0.003*	<0.003*	<0.003*	0.006	0.08	51°7'7.68" 17°5'41.279"
12	GKP w odległości 7m od anteny radioliniowej az. 93°	0,3-2,0	<0.003*	<0.003*	<0.003*	0.006	0.08	51°7'7.319" 17°5'44.16"
13	GKP w odległości 18m od anteny radioliniowej az. 93°	0,3-2,0	<0.003*	<0.003*	<0.003*	0.006	0.08	51°7'7.319" 17°5'44.88"
14	w odległości 17m od anteny sektorowej az. 165°	0,3-2,0	<0.003*	<0.003*	<0.003*	0.006	0.08	51°7'6.599" 17°5'43.44"
15	w odległości 25m od anteny sektorowej az. 45°	0,3-2,0	<0.003*	<0.003*	<0.003*	0.006	0.08	51°7'8.039" 17°5'43.44"
16	w odległości 32m od anteny radioliniowej az. 93°	0,3-2,0	<0.003*	<0.003*	<0.003*	0.006	0.08	51°7'6.599" 17°5'45.24"
-	GKP w odległości 241m od anteny sektorowej az. 45°	0,3-2,0	<0.003*	<0.003*	<0.003*	0.006	0.08	51°7'12.719" 17°5'52.799"
-	GKP w odległości 359m od anteny sektorowej az. 45°	0,3-2,0	<0.003*	<0.003*	<0.003*	0.006	0.08	51°7'15.6" 17°5'57.119"
-	GKP w odległości 189m od anteny sektorowej az. 165°	0,3-2,0	<0.003*	<0.003*	<0.003*	0.006	0.08	51°7'1.199" 17°5'46.319"
-	GKP w odległości 369m od anteny sektorowej az. 165°	0,3-2,0	<0.003*	<0.003*	<0.003*	0.006	0.08	51°6'55.44" 17°5'48.84"
-	GKP w odległości 160m od anteny sektorowej az. 285°	0,3-2,0	<0.003*	<0.003*	<0.003*	0.006	0.08	51°7'8.76" 17°5'35.879"
-	GKP w odległości 364m od anteny sektorowej az. 285°	0,3-2,0	<0.003*	<0.003*	<0.003*	0.006	0.08	51°7'10.2" 17°5'25.799"

GKP – Główny Kierunek Pomiarowy

¹ wyniki oznaczone * są wynikami poniżej czułości zestawu pomiarowego

² współrzędne geograficzne poznajane metodą obliczeniową w oparciu o punkt referencyjnego

³ do wyznaczenia wartości wskaźnikowej WM_E i WM_H przyjęto na podstawie uzgodnień z klientem oraz rozpoznania źródeł, jako wartości dopuszczalne pola elektrycznego i magnetycznego odpowiednio 28 V/m i 0,073 A/m.

⁴ do wyznaczenia niepewności dla wyników poniżej czułości zestawu pomiarowego, przyjęto niepewność dla minimalnej wartości z zakresu pomiarowego.

⁵ maksymalna wartość chwilowa

Niepewność oszacowano zgodnie z dokumentem P-03 „Procedura nadzoru nad wyposażeniem” w postaci niepewności rozszerzonej wynikającej z niepewności standardowej pomnożonej przez współczynnik rozszerzenia k=2.

Całkowita szacowana niepewność rozszerzona składowej E wynosi odpowiednio:

sonda S-04: 30.5% dla częstotliwości do 3 GHz, sonda S-28: 28.8% dla częstotliwości do 3 GHz

Dla przedmiotowych pomiarów zleceniodawca określił poprawkę pomiarową = 1.65.

Umiejscowienie pionów (punktów) pomiarowych przedstawiono w nr 2 do niniejszego sprawozdania.

Sprawozdanie z badań bez pisemnej zgody laboratorium nie może być powielane inaczej niż w całości.
Wynik przedstawione w niniejszym sprawozdaniu odnoszą się wyłącznie do badanego obiektu i do warunków i konfiguracji urządzeń w dniu wykonywania pomiarów.

10. Omówienie wyników pomiarów

Wyniki pomiarów uzyskane zostały przy uwzględnieniu poprawek pomiarowych przekazanych przez zleceniodawcę, umożliwiających uwzględnienie maksymalnych parametrów pracy instalacji zleceniodawcy oraz innych operatorów występujących w obszarze pomiarowym.

W wyniku zastosowania sposobu sprawdzenia dotrzymania dopuszczalnych poziomów pól elektromagnetycznych w środowisku, zgodnie pkt 25 ppkt 1 Rozporządzenia Ministra Klimatu z dnia 17 lutego 2020 r. (Dz. U. 2020, poz. 258), w związku z tym, że żadna z wartości wskaźnikowych, udokumentowanych w tabelach w pkt. 9 nie przekracza wartości 1, stwierdza się, że w miejscowościach, w których wykonano pomiary w otoczeniu instalacji radiokomunikacyjnej 77309 (77309N!) WROCŁAW ZALESIE 2 (PWR_WROCLAW_ZALESIE2), dopuszczalne poziomy pól elektromagnetycznych w środowisku należy uznać za dotrzymane.

11. Podstawa prawna

- 1) Ustawa z dnia 27 kwietnia 2001 r. Prawo ochrony środowiska (t. j. Dz. U. z 2020 r., poz. 1219 z późn.zm.)
- 2) Rozporządzenie Ministra Zdrowia z dnia 17 grudnia 2019 r. w sprawie dopuszczalnych poziomów pól elektromagnetycznych w środowisku (Dz. U. 2019, poz. 2448)
- 3) Rozporządzenie Ministra Klimatu z dnia 17 lutego 2020 r. w sprawie sposobów sprawdzania dotrzymania dopuszczalnych poziomów pól elektromagnetycznych w środowisku (Dz. U. 2020, poz. 258),
- 4) Akredytacja nr AB 419 wydana przez Polskie Centrum Akredytacji (wydanie 17, z dnia 13 stycznia 2021r.).

12. Spis załączników

Załącznik 1. Lokalizacja obiektu badań

Załącznik 2. Usytuowanie pionów (punktów) pomiarowych

Załącznik 3. Dokumentacja fotograficzna obiektu badań

13. Data wydania i autoryzowania sprawozdania

Obliczenia i sprawozdanie wykonał :



Signed by /
Podpisano przez:

Anna Kacperska

Date / Data:
2021-12-22
15:18

Sprawozdanie autoryzowało:



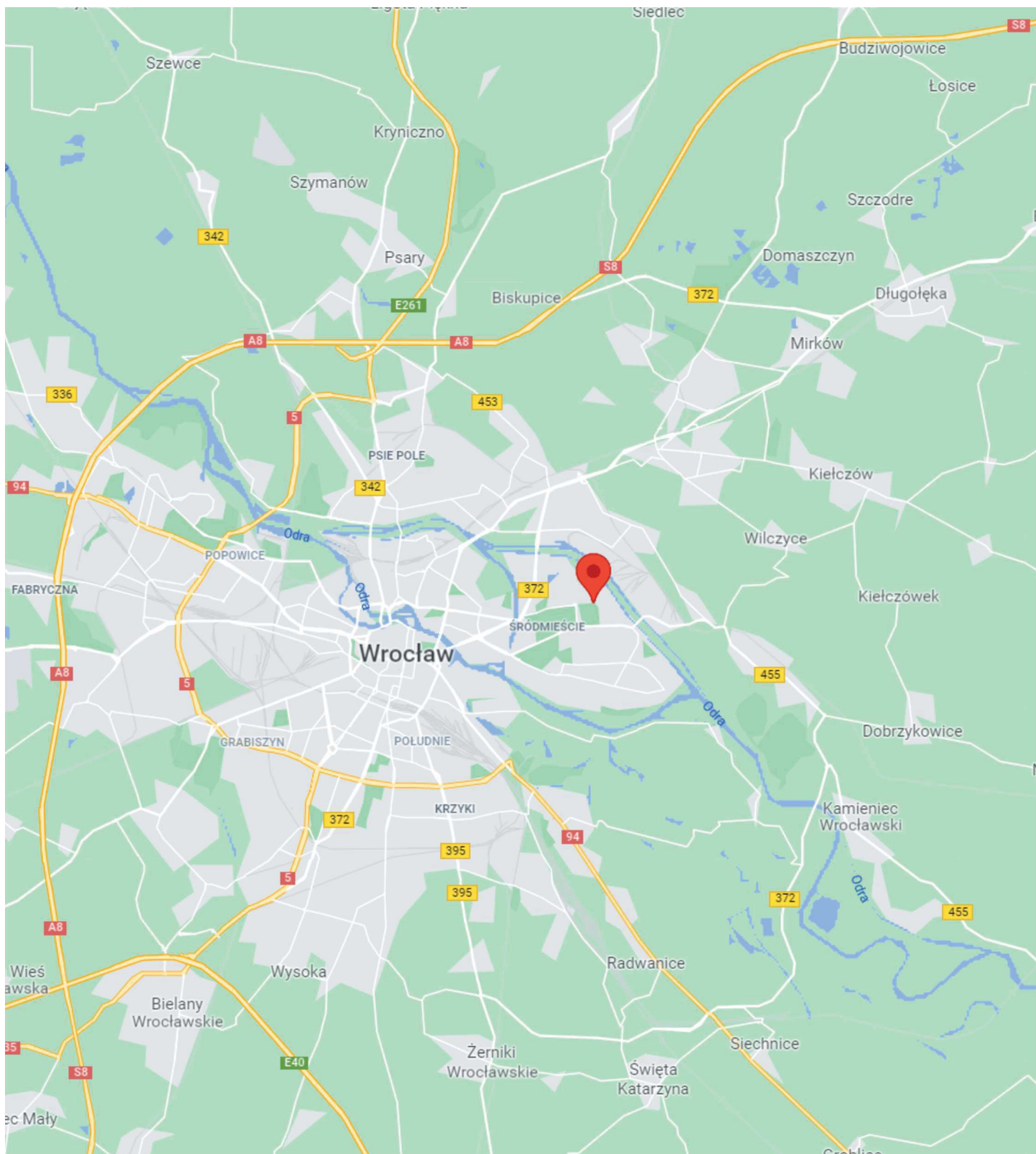
Signed by /
Podpisano przez:

Łukasz Kosznik

Date / Data:
2021-12-22
15:39

Koniec sprawozdania

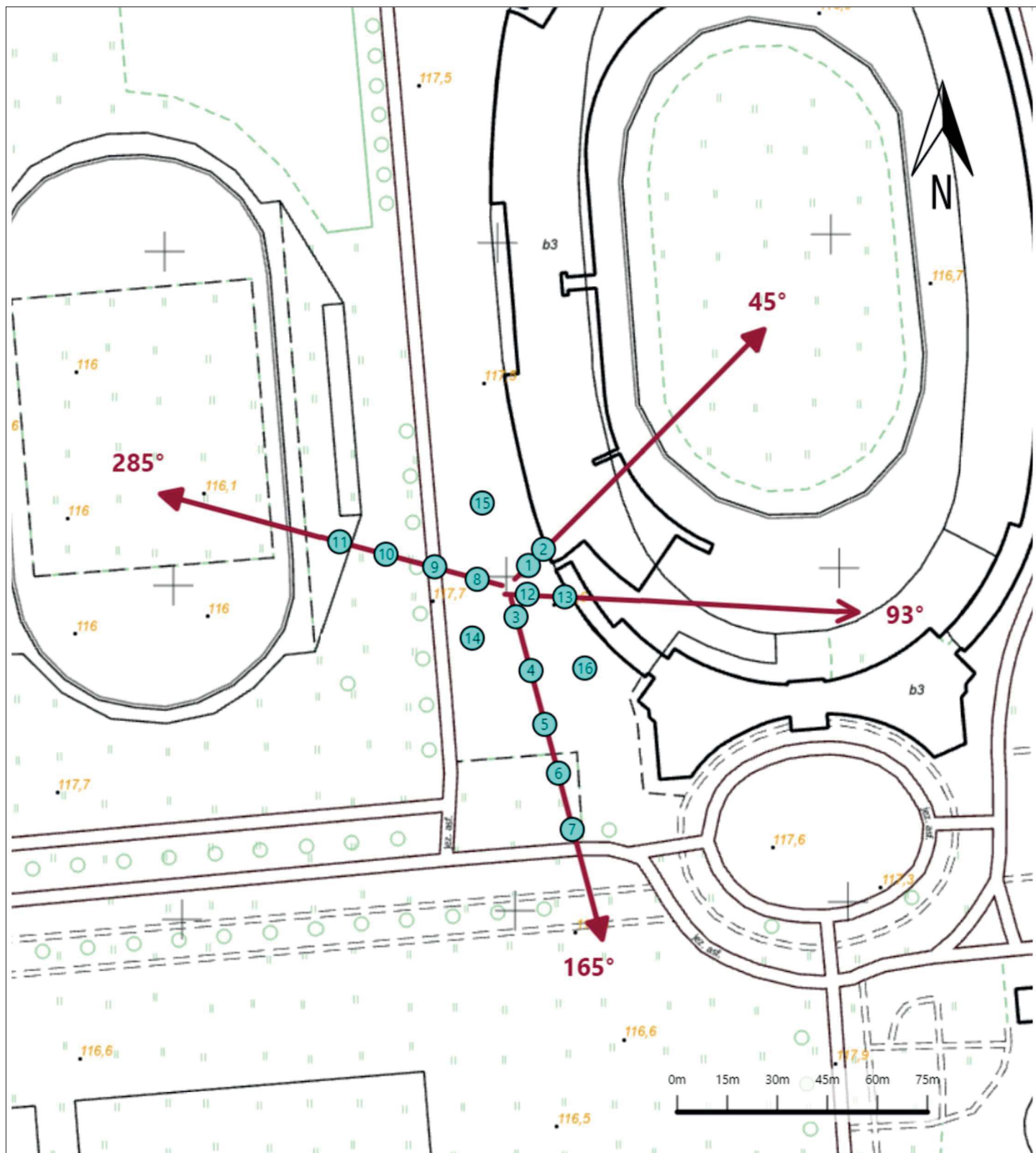
Sprawozdanie z badań bez pisemnej zgody laboratorium nie może być powielane inaczej niż w całości.
Wynik przedstawione w niniejszym sprawozdaniu odnoszą się wyłącznie do badanego obiektu i do warunków i konfiguracji urządzeń w dniu wykonywania pomiarów.



Załącznik nr 1

Instalacja Radiokomunikacyjna Orange Polska S.A. 77309 (77309N!) WROCŁAW ZALESIE 2 (PWR_WROCLAW_ZALESIE2)
Lokalizacja instalacji

Sprawozdanie z badań bez pisemnej zgody laboratorium nie może być powielane inaczej niż w całości.
Wynik przedstawione w niniejszym sprawozdaniu odnośną się wyłącznie do badanego obiektu i do warunków i konfiguracji
urządzeń w dniu wykonywania pomiarów.



Załącznik nr 2	Instalacja Radiokomunikacyjna Orange Polska S.A. 77309 (77309N!) WROCŁAW ZALESIE 2 (PWR_WROCLAW_ZALESIE2) Usytuowanie pionów pomiarowych w otoczeniu instalacji radiokomunikacyjnej
Legenda:	Pion pomiarowy Kierunek oddziaływania anten sektorowych Kierunek oddziaływania anten radioliniowych

Sprawozdanie z badań bez pisemnej zgody laboratorium nie może być powielane inaczej niż w całości.
Wynik przedstawione w niniejszym sprawozdaniu odnoszą się wyłącznie do badanego obiektu i do warunków i konfiguracji urządzeń w dniu wykonywania pomiarów.



Załącznik nr 3

Instalacja Radiokomunikacyjna Orange Polska S.A. 77309 (77309N!) WROCŁAW ZALESIE 2 (PWR_WROCLAW_ZALESIE2)
Dokumentacja fotograficzna

Sprawozdanie z badań bez pisemnej zgody laboratorium nie może być powielane inaczej niż w całości.
Wynik przedstawione w niniejszym sprawozdaniu odnośną się wyłącznie do badanego obiektu i do warunków i konfiguracji
urządzeń w dniu wykonywania pomiarów.